



### LEGENDA SINÓPTICA

- ARGISSOLOS
  - PVd1 a PVd5 - ARGISSOLOS VERMELHOS Distróficos
  - PVe1 a PVe3 - ARGISSOLOS VERMELHOS Eutróficos
  - PVAd1 a PVAd34 - ARGISSOLOS VERMELHO-AMARELOS Distróficos
  - PVAe1 e PVAe2 - ARGISSOLOS VERMELHO-AMARELOS Eutróficos
- CAMBISSOLOS
  - CHa1 a CHa8 - CAMBISSOLOS HÚMICOS Aluminicos
  - CHd - CAMBISSOLOS HÚMICOS Distróficos
  - CYbd - CAMBISSOLOS FLÚVICOS Tb Distróficos
  - CXa1 e CXa2 - CAMBISSOLOS HÁPLICOS Aluminicos
  - CXbd1 a CXbd31 - CAMBISSOLOS HÁPLICOS Tb Distróficos
  - CXe - CAMBISSOLOS HÁPLICOS Ta Eutróficos
- CHERNOSSOLO
  - MDa - CHERNOSSOLOS RENDZICOS Órticos
- ESPODOSSOLO
  - EKg - ESPODOSSOLOS HUMILÚVICOS Hidromórficos
- GLEISSOLOS
  - GZ - GLEISSOLOS SÁLICOS
  - GM1 a GM3 - GLEISSOLOS MELÂNICOS
  - GX1 e GX2 - GLEISSOLOS HÁPLICOS
- LATOSSOLOS
  - LBw1 e LBw2 - LATOSSOLOS BRUNOS Ácricos
  - Lbd1 a Lbd10 - LATOSSOLOS BRUNOS Distróficos
  - LVd11 a LVd14 - LATOSSOLOS VERMELHOS Distróficos
  - LVe11 a LVe13 - LATOSSOLOS VERMELHOS Eutróficos
  - LVd1 a LVd3 - LATOSSOLOS VERMELHOS Distróficos
  - LVe1 e LVe2 - LATOSSOLOS VERMELHOS Eutróficos
  - LVAd1 e LVAd2 - LATOSSOLOS VERMELHO-AMARELOS Distróficos
- NEOSSOLOS
  - RLh1 a RLh10 - NEOSSOLOS LITÓLICOS Húmicos
  - RLdh - NEOSSOLOS LITÓLICOS Distro-úmbricos
  - RLd - NEOSSOLOS LITÓLICOS Distróficos
  - RVq - NEOSSOLOS FLÚVICOS Psâmílicos
  - RYbd - NEOSSOLOS FLÚVICOS Tb Distróficos
  - RRh1 a RRh3 - NEOSSOLOS REGOLÍTICOS Húmicos
  - RRh11 a RRh6 - NEOSSOLOS REGOLÍTICOS Húmicos
  - RRd11 a RRd6 - NEOSSOLOS REGOLÍTICOS Distro-úmbricos
  - RRd1 a RRd9 - NEOSSOLOS REGOLÍTICOS Distróficos
  - RRe1 a RRe12 - NEOSSOLOS REGOLÍTICOS Eutróficos
- NITOSSOLOS
  - RQo - NEOSSOLOS QUARTZARÊNICOS Órticos
  - NB1 a NB4 - NITOSSOLOS BRUNOS Aluminicos
  - NBd1 a NBd4 - NITOSSOLOS BRUNOS Distróficos
  - NVd1 a NVd7 - NITOSSOLOS VERMELHOS Distróficos
  - NVe1 a NVe10 - NITOSSOLOS VERMELHOS Eutróficos
- ORGANOSSOLOS
  - OX1 a OX3 - ORGANOSSOLOS HÁPLICOS
- AFLORENTOS DE ROCHA
  - AR1 e AR2 - AFLORENTOS ROCHEOSOS

### CONVENÇÕES

- Localidade (Capital e outras cidades)
- Rodovia Municipal
- Rodovia Estadual
- Rodovia Federal
- Limite Estadual
- Limite Internacional
- Corpo d'agua
- Drenagem
- Ilha
- Limite entre unidades de mapeamentos

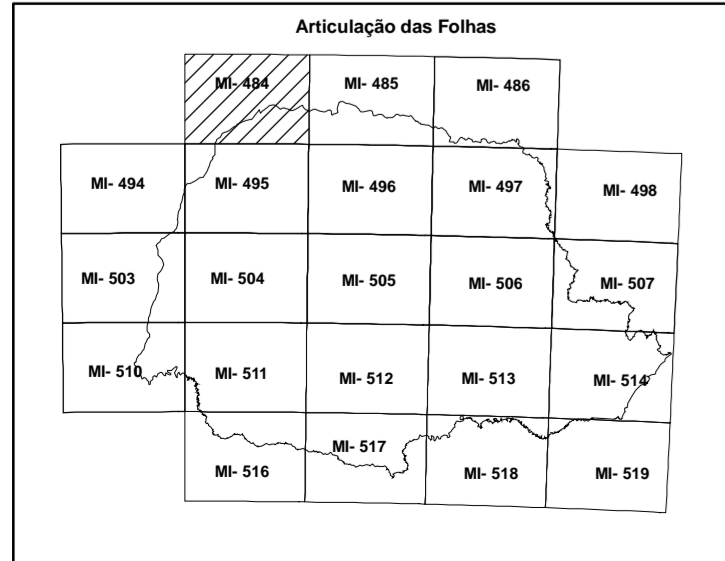
**Autoria:**  
Solos: Atualização do Mapa de Solos - SIBCS, 2006  
Humberto Gonçalves dos Santos \*  
Sílvia Barge Bhering\*  
Itamar Antonio Bogheda\*\*  
Gustavo Ribas Curcio\*\*  
Celso Valner Marzotto\*  
César da Silva Chagas\*\*

Geoprocessamento:  
Mário Luiz Diamante-Aguiar\*  
José Silva de Souza\*  
Wáldir de Carvalho Junior\*  
Claudio Edson Chaffin

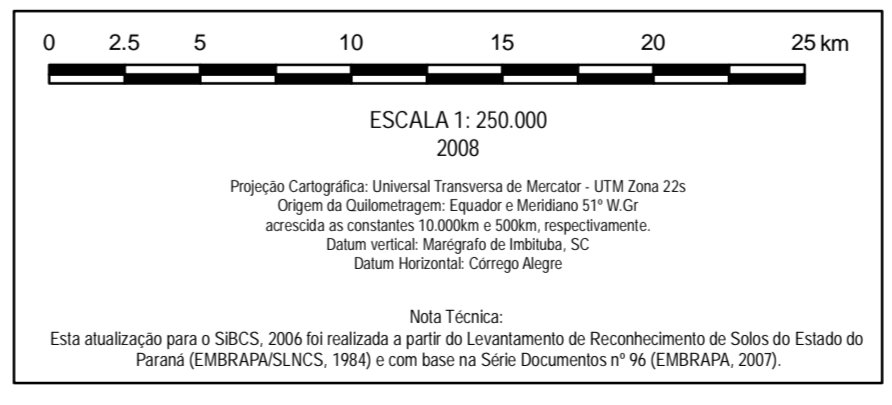
\* EMBRAPA SOLOS  
\*\* EMBRAPA FLORESTA

LABORATÓRIO DE GEOINFORMAÇÃO

AGRADECIMENTOS ESPECIAIS:  
A Embrapa Solos e a Embrapa Florestas apresentam publicamente todo o seu reconhecimento e agradecimento aos colegas profissionais que contribuíram ao longo de mais de três décadas na geração do conhecimento, da distribuição e da ocorrência dos solos no estado do Paraná.  
Mário Carlos Antonio Pereira de Carvalho, Dêlida Peres Hochstetler, Jorge Otávio Ratti Lacerda, Marney de Jesus Raizen, Pedro Jorge Fandi e Reinaldo Osório Páter.



**Nota Técnica da Base de Apoio Temática:**  
A base de apoio para o delineamento do mapa de solos (drenagem, rodovias, limites políticos e áreas urbanas), foi gerada a partir da digitalização e mosaico das folhas planialtimétricas do IBGE na escala 1:250.000 (articulação a esquerda). A atualização dos limites das represas foi realizada a partir do plano de informação fornecido pelo Instituto de Terras, Cartografia e Geociências - ITCG - Estado do Paraná.



Declinação Magnética do Centro da Folha: 12° 42' Cresce 10' Anualmente.  
Convergência Meridiana do Centro da Folha: 0° 17'